

H_∞ 制御理論を用いた3自由度ヘリコプタのロバスト安定化

2009SE259 杉野拓真

指導教員：高見勲

1 はじめに

本研究では、線形化に伴うモデル化誤差、荷重の変化に対するロバスト性を保証し、系を安定にする制御則を設計することを目的とする。制御対象には3自由度ヘリコプタを用い、フロント、バックロータにそれぞれ荷重をかける。この制御対象は双線形システムであるが、これを線形化する。ディスクリプタ表現と線形分数変換(LFT)により、変動パラメータに関し、ポリトープな状態方程式を導く。そして、 H_∞ ノルム仕様を満たすLMIで定式化し、系を安定にする制御則を設計する。

2 制御対象とモデリング

2.1 状態方程式の導出と線形化

本研究で用いる3自由度ヘリコプタの簡単な構成図を図1に示す。本実験機は、支持棒ABを、支点Oを中心として水平面内および垂直面内で回転させることができる。点Oを基準として、垂直面内での回転角を $\epsilon(t)$ [deg]、水平面内での回転角を $\lambda(t)$ [deg]とする。また、点Bを支点として支持棒CDを垂直面内で回転させることができ、このときの回転角を $\rho(t)$ [deg]とする。

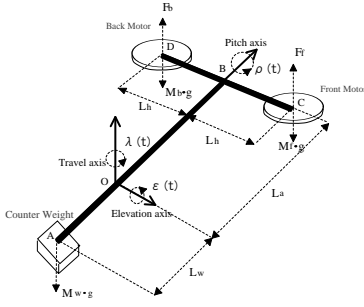


図1 3自由度ヘリコプタのモデル

状態変数 $x(t)$ を、 $x(t) = [\epsilon(t) \ \rho(t) \ \lambda(t) \ \dot{\epsilon}(t) \ \dot{\rho}(t) \ \dot{\lambda}(t)]^T$ 、入力 $u(t)$ を、 $u(t) = [u_f(t) \ u_b(t)]^T$ とし、状態空間表現を式(1)に示す。ただし、 $u_f(t)$ [V]、 $u_b(t)$ [V]は、それぞれフロント、バックモータの入力電圧である。

$$E\dot{x}(t) = Ax(t) + Bu(t) + L, \quad y(t) = Cx(t) \quad (1)$$

また、 E, A, B, C, L は、次のように与えられる。

$$E = \begin{bmatrix} 1 & 0 & 0 & 0 & 0 & 0 \\ 0 & 1 & 0 & 0 & 0 & 0 \\ 0 & 0 & 1 & 0 & 0 & 0 \\ 0 & 0 & 0 & J_\epsilon & 0 & 0 \\ 0 & 0 & 0 & 0 & J_\rho & 0 \\ 0 & 0 & 0 & 2(M_f - M_b)L_a L_h & 0 & J_\lambda \end{bmatrix}$$

$$A = \begin{bmatrix} 0 & 0 & 0 & 1 & 0 & 0 \\ 0 & 0 & 0 & 0 & 1 & 0 \\ 0 & 0 & 0 & 0 & 0 & 1 \\ 0 & 0 & 0 & 0 & 0 & 0 \\ 0 & 0 & 0 & 0 & 0 & 0 \\ 0 & 0 & 0 & 0 & 0 & 0 \end{bmatrix}, \quad B = K_f \begin{bmatrix} 0 & 0 \\ L_a & 0 \\ L_h & 0 \\ L_a \sin \rho(t) & L_a \sin \rho(t) \end{bmatrix}$$

$$C = \begin{bmatrix} 1 & 0 & 0 & 0 & 0 & 0 \\ 0 & 0 & 1 & 0 & 0 & 0 \end{bmatrix}, \quad L = \begin{bmatrix} 0 \\ 0 \\ 0 \\ -(M_f + M_b)gL_a + M_w g L_w \\ -(M_f - M_b)gL_h \\ 0 \end{bmatrix}$$

ただし、 J_ϵ [kg·m²]、 J_ρ [kg·m²]、 J_λ [kg·m²]は、それぞれ各方向に運動する際に生じる慣性モーメントである。

ここで、 $\sin \rho(t) \doteq \rho(t)$ として $\dot{\lambda}(t)$ に注目すると、

$$\dot{\lambda}(t) = \frac{U(t)}{J_\lambda} \rho(t), \quad (U(t) := K_f L_a (u_f(t) + u_b(t))) \quad (2)$$

となる。これは双線形系であるが、平衡状態($U_0, \rho_0 = 0$)のまわりで線形化すると、 E, A, B は次のように書き直され、系は線形の形で表現できる。

$$E = \begin{bmatrix} 1 & 0 & 0 & 0 & 0 & 0 \\ 0 & 1 & 0 & 0 & 0 & 0 \\ 0 & 0 & 1 & 0 & 0 & 0 \\ 0 & 0 & 0 & (M_f + M_b)L_a^2 + M_w L_w^2 & (M_f - M_b)L_a L_h & 0 \\ 0 & 0 & 0 & 2(M_f - M_b)L_a L_h & (M_f + M_b)L_h^2 & 0 \\ 0 & 0 & 0 & 0 & 0 & 1 \end{bmatrix}$$

$$A = \begin{bmatrix} 0 & 0 & 0 & 1 & 0 & 0 \\ 0 & 0 & 0 & 0 & 1 & 0 \\ 0 & 0 & 0 & 0 & 0 & 1 \\ 0 & 0 & 0 & 0 & 0 & 0 \\ 0 & 0 & 0 & 0 & 0 & 0 \\ 0 & \frac{U_0}{J_\lambda} & 0 & 0 & 0 & 0 \end{bmatrix}, \quad B = K_f \begin{bmatrix} 0 & 0 \\ 0 & 0 \\ 0 & 0 \\ L_a & L_a \\ L_h & -L_h \\ 0 & 0 \end{bmatrix}$$

2.2 ディスクリプタ方程式の導出

E, A には、不確かさ M_f, M_b が混在しているため、ポリトープ表現ができない。そこで、ディスクリプタシステムと線形分数変換を用いて、これらの不確かさを1つの係数行列にまとめる。ディスクリプタ変数を、 $\hat{x}(t) = [x(t) \ \dot{\epsilon}(t) \ \dot{\rho}(t) \ \dot{\lambda}(t) \ u(t)]^T$ とすると、ディスクリプタ方程式は式(3)になる。

$$\hat{E}\dot{\hat{x}}(t) = \hat{A}\hat{x}(t) + \hat{B}u(t) \quad (3)$$

\hat{A} を式(4)のように定める。ここで、 \hat{A}_n は定数行列、 $B_\delta \Delta (I - D_\delta \Delta)^{-1} C_\delta$ は変動パラメータを含む行列である。

$$\hat{A} = \hat{A}_n + B_\delta \Delta (I - D_\delta \Delta)^{-1} C_\delta \quad (4)$$

また、式(3)に線形分数変換を施し、新たなディスクリプタ変数を z_δ とすると次式になる。

$$E_d \begin{bmatrix} \dot{\hat{x}}(t) \\ \dot{z}_\delta(t) \end{bmatrix} = A_d \begin{bmatrix} \hat{x}(t) \\ z_\delta(t) \end{bmatrix} + B_d u(t) \quad (5)$$

ここで、 E_d, A_d, B_d は、次のように与えられる。

$$E_d = \begin{bmatrix} \hat{E} & 0 \\ 0 & 0 \end{bmatrix}, \quad A_d = \begin{bmatrix} \hat{A}_n & B_\delta \Delta \\ C_\delta & D_\delta \Delta - I \end{bmatrix}, \quad B_d = \begin{bmatrix} \hat{B} \\ 0 \end{bmatrix}$$

2.3 拡大系の導出

出力 $y(t)$ を目標値に定常偏差なく追従させるため、拡大系の導出を行う。観測出力 $y(t)$ と目標値 $r(t)$ の偏差を $e(t)$ とする。また、偏差 $e(t)$ を区間 $[0, t]$ まで積分した値を $w(t)$ とする。拡大系の状態変数を $\tilde{x}(t) = [w_\epsilon(t) \ w_\lambda(t) \ \hat{x}(t) \ z_\delta(t)]^T$ とすると、拡大系は次式となる。

$$\tilde{E}\dot{\tilde{x}}(t) = \tilde{A}\tilde{x}(t) + \tilde{B}u(t) + B_r r(t) \quad (6)$$

ここで、 $\tilde{E}, \tilde{A}, \tilde{B}, B_r$ は、次のように与えられる。

$$\tilde{E} = \begin{bmatrix} I & 0 \\ 0 & E_d \end{bmatrix}, \quad \tilde{A} = \begin{bmatrix} 0 & -C \\ 0 & A_d \end{bmatrix}, \quad \tilde{B} = \begin{bmatrix} 0 \\ B_d \end{bmatrix}, \quad B_r = \begin{bmatrix} I \\ 0 \end{bmatrix}$$

3 制御器設計

3.1 H_∞ 制御系設計

目標値 $r(t)$ から評価出力 $z(t)$ までの H_∞ ノルムを γ_∞ 未満にすることを考える. 一般化プラントを次式とする.

$$\begin{cases} \tilde{E}\dot{\tilde{x}}(t) = \tilde{A}\tilde{x}(t) + \tilde{B}u(t) + B_r r(t) \\ z(t) = \tilde{C}\tilde{x}(t) + \tilde{D}u(t) \end{cases} \quad (7)$$

W_e, W_x, W_u をそれぞれ偏差の積分, 状態, 入力に対する重みとすると, \tilde{C}, \tilde{D} は次式となる.

$$\tilde{C} = \begin{bmatrix} W_e & 0 & 0 \\ 0 & W_x & 0 \\ 0 & 0 & 0 \end{bmatrix}, \quad \tilde{D} = \begin{bmatrix} 0 \\ W_u \end{bmatrix}$$

$u(t) = K\tilde{x}(t) = YX^{-1}\tilde{x}(t)$ とする. 以下の LMI を満たす X, Y が存在すればシステムは安定であり, $\|G(s)\|_\infty < \gamma_\infty$ を保証するフィードバックゲイン K が導出される [1].

$$\begin{bmatrix} XA^T + AX + Y^T B^T + BY & B_r^T & X\tilde{C}^T + Y^T \tilde{D}^T \\ B_r^T & -\gamma_\infty^2 I & 0 \\ X\tilde{C}^T + Y^T \tilde{D}^T & 0 & -I \end{bmatrix} < 0$$

$$X = \begin{bmatrix} X_{11} & 0 & 0 \\ X_{21} & X_{22} & X_{23} \\ X_{31} & X_{32} & X_{33} \end{bmatrix}, \quad X_{11} > 0$$

3.2 ポリトープ型制御系設計

不確かなパラメータの変動範囲内で, ロバスト安定性を保証することを考える. M_f, M_b の変動幅は

$$\begin{aligned} M_f &\in [M_{fmin}, M_{fmax}] = [0.755, 0.830] \\ M_b &\in [M_{bmin}, M_{bmax}] = [0.755, 0.830] \end{aligned}$$

である. 変動幅の端点行列 $\tilde{A}_{a\sim d}$ を次のように定める.

$$\begin{aligned} \tilde{A}_a &= \tilde{A}(M_{fmin}, M_{bmin}), \quad \tilde{A}_b = \tilde{A}(M_{fmin}, M_{bmax}) \\ \tilde{A}_c &= \tilde{A}(M_{fmax}, M_{bmin}), \quad \tilde{A}_d = \tilde{A}(M_{fmax}, M_{bmax}) \end{aligned}$$

これらそれぞれで安定であれば, 端点間でも安定である.

3.1 で導出した LMI をポリトープ型に拡張し, 状態フィードバックゲイン K を得る.

4 シミュレーションと実験

制御入力の違いをシミュレーションで比較する. $\epsilon(t)[deg]$, $\lambda(t)[deg]$ の目標値をそれぞれ $15[deg], 120[deg]$ とした. ただし, 図 4, 5 は入力電圧のシミュレーションであり, $10[s]$ でステップ入力を与えている.

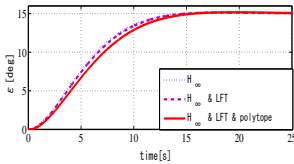


図 2 $\epsilon(t)[deg]$

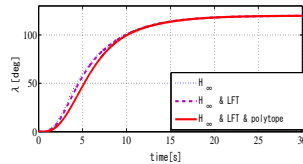


図 3 $\lambda(t)[deg]$

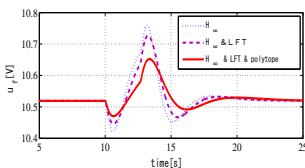


図 4 $u_f(t)[V]$

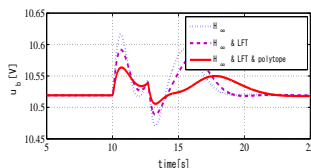


図 5 $u_b(t)[V]$

図 2, 3 より, どの応答もほぼ同時刻に目標値に収束していることがわかる. また, 図 4, 5 より, システムを LFT とディスクリプタ表現で表わし, ポリトープでロバスト安定性を保証したゲインの応答は, 他に比べ最大電圧が低い. よって, パラメータの変動範囲に対して厳密に設計ができたといえる.

また, ロバスト安定性を確認するため, $\tilde{A}_a, \tilde{A}_b, \tilde{A}_c, \tilde{A}_d$ のときの実験結果の比較を図 6, 7 に示す. 図 6, 7 におい

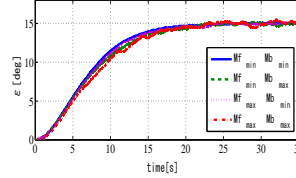


図 6 $\tilde{A}_{a\sim d} : \epsilon(t)[deg]$

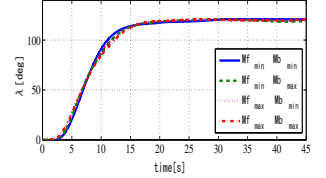


図 7 $\tilde{A}_{a\sim d} : \lambda(t)[deg]$

て, M_f, M_b が変動してもほぼ同じ実験結果となっている. よって, M_f, M_b の変動範囲に対して, ロバスト安定性を保証していることが確認できた. 図 8~11 は \tilde{A}_a, \tilde{A}_d のときのシミュレーションと実験の比較である.

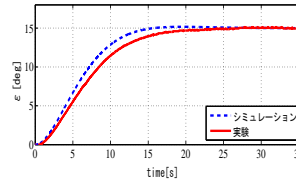


図 8 $\tilde{A}_a : \epsilon(t)[deg]$

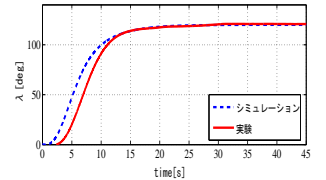


図 9 $\tilde{A}_a : \lambda(t)[deg]$

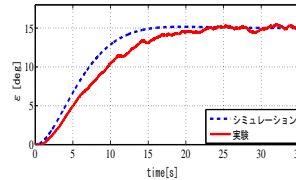


図 10 $\tilde{A}_d : \epsilon(t)[deg]$

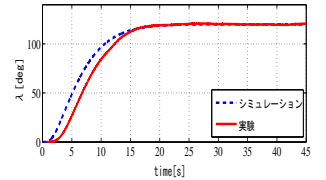


図 11 $\tilde{A}_d : \lambda(t)[deg]$

どの応答も定常偏差はなく, シミュレーションと実験結果はほぼ一致しているといえる. しかし, $\epsilon(t)[deg]$ に関して, 実験結果はシミュレーションと比べ, 目標値に収束するまでの時間が長い.

5 おわりに

状態空間表現にいくつかの変動パラメータが含まれる制御対象に対して, LFT, ディスクリプタ表現を用い, ポリトープシステムでロバスト安定性を保証した. また, LFT, ディスクリプタ表現により, パラメータの変動範囲に対して厳密な安定化設計法を示した. しかし, シミュレーションと実験結果を比較すると, 若干の誤差が見られる. これは気流の乱れなどによる外乱の影響だと考えられる. 今後の課題として, 外乱を考慮した制御系の設計, また, 制御性能を向上させるために適応制御を用いることを挙げる.

参考文献

- [1] 蛸原義雄:『LMI によるシステム制御』: 森北出版, 東京, 2012.